



## تأثیر نسبت فعال کننده به چسب بر پارامترهای شکست بتن ژئوپلیمری سبک بر پایه خاکستر بادی

محمد رضا عباسی زرگله<sup>۱</sup>، موسی مظلوم<sup>۲\*</sup>، مجتبی جعفری صمیمی<sup>۱</sup>، محمد حسن رامشت<sup>۱</sup>

۱- دانشکده مهندسی، دانشگاه آزاد اسلامی، واحد تهران مرکزی، تهران، ایران

۲- دانشکده مهندسی عمران، دانشگاه تربیت دبیر شهید رجایی، تهران، ایران

### تاریخچه داوری:

دریافت: ۱۴۰۰/۰۱/۲۸

بازنگری: ۱۴۰۱/۰۱/۲۶

پذیرش: ۱۴۰۱/۱۲/۰۱

ارائه آنلاین: ۱۴۰۱/۱۲/۰۹

### کلمات کلیدی:

بتن ژئوپلیمری

بتن ژئوپلیمری سبک

پارامتر شکست

عمل آوری دمای بالا

**خلاصه:** بتن متغیر ترین و یکی از پرمصرف‌ترین مصالح ساختمانی است. برای ساخت بتن به مقدار زیادی سیمان پرتلند نیاز است. تولید سیمان پرتلند همراه با تولید مقدار زیادی دی‌اکسید کربن است که جو را آلوده می‌کند. علاوه بر آن مقدار زیادی انرژی نیز برای تولید سیمان پرتلند مصرف می‌شود. از این رو، یافتن یک ماده جایگزین برای سیمان پرتلند اجتناب ناپذیر است. بتن ژئوپلیمری یک ماده ساختمانی نوآورانه است که از اثر شیمیایی مولکول‌های معدنی تولید می‌شود. حذف سیمان پرتلند یکی از مزیت‌های بزرگ استفاده از بتن ژئوپلیمری است. به همین دلیل برای شناخت انواع بتن ژئوپلیمری، مطالعه بر روی اجزای مختلف سازنده آن و تاثیر آن‌ها بر پارامترهای شکست اهمیت دارد. در این مقاله نتایج آزمایش‌های پارامترهای شکست بتن ژئوپلیمری سبک بر پایه خاکستر بادی کلاس C (Lightweight Fly ash C class-based Geopolymer Concrete) ارائه می‌شود. این آزمایش‌ها شامل آزمایش خمسم سه نقطه‌ای بر روی بتن ساخت شده پس از گذشت ۲۴ ساعت عمل آوری انجام شد. در این آزمایش‌ها سه طرح مخلوط فشاری و مقاومت کششی بر روی بتن ساخت شده پس از گذشت ۳۶ تیر با نسبت فعال کننده به چسب متفاوت است. همچنین آزمایش‌های مقاومت با نسبت فعال کننده به چسب از ۰/۶، ۰/۵، ۰/۴ و ۰/۳ در نظر گرفته شد. با تغییر نسبت فعال کننده به چسب از ۰/۶ به ۰/۴، مقاومت فشاری از ۱۸/۹ MPa به ۲۸/۴ MPa، چرمگی از ۱۴/۰/۷ MPa mm<sup>-۵</sup> به ۱۹/۰/۴ MPa mm<sup>-۵</sup> و طول ناحیه فرایند شکست از ۱۷/۳۱ mm به ۲۰/۹۸ mm تغییر یافت.

### ۱- مقدمه

متصل می‌کند تا بتن ژئوپلیمری را بسازد. نیروگاه‌های زغال سنگ در سراسر جهان مقدار قابل توجهی خاکستر بادی را به عنوان یک محصول جانبی تولید می‌کنند که می‌تواند به طور مؤثر در بتن ژئوپلیمری برای کمک به کاهش رد اثر کربن ناشی از تولید بتن، استفاده شود.

یک عضو در یک سازه ممکن است مستعد یک یا چند نوع خرابی باشد. شکست را می‌توان به عنوان فرآیند جداسازی (یا تکه تکه شدن) یک جامد به دو یا چند قسمت، تحت تأثیر یک تنفس تعریف کرد. ترک در تمام سازه‌های بتن مسلح و غیرمسلح وجود دارد. ترک‌ها اغلب به عنوان مرکز کننده تنفس در بسیاری از موارد عمل می‌کنند و با افزایش میزان بار مرکز تنفس به موقع می‌پیوندد و ترک‌ها گسترش یافته و نهایتاً باعث تخریب سازه می‌شوند. سیمان ژئوپلیمری به عنوان یک ماده شبه شکننده به عنوان جایگزینی برای سیمان پرتلند مورد استفاده قرار می‌گیرد [۱۰-۱۳]. برای تقویت

نام ژئوپلیمر توسط پروفسور فرانسوی دیوبدوویتس در سال ۱۹۷۸ برای نشان دادن طیف وسیعی از مواد مشخص شده توسط شبکه مولکول‌های معدنی به کار گرفته شد [۱-۳]. ژئوپلیمر یک چسب جایگزین نوظهور برای بتن است که در تهیه آن از مواد فرعی صنایع استفاده می‌کنند. یک ماده پایه که غنی از سیلیسیم (Si) و آلومینیوم (Al) است با یک محلول قلیایی واکنش داده و چسب ژئوپلیمر تولید می‌شود.

مواد پایه، مانند خاکستر بادی [۴] و ماتاکائولن [۶] و سرباره کوره بلند آهن‌گدازی [۷] را می‌توان برای ساخت ژئوپلیمر استفاده کرد. خاکستر بادی مخلوط با سرباره کوره بلند [۸] و خاکستر پوسته برنج [۹] نیز به عنوان ماده پایه برای ژئوپلیمر استفاده شده است. محصول واکنش یک پلیمر معدنی است که سنگدانه‌ها را به یکدیگر

\* نویسنده عهدهدار مکاتبات: mazloom@sru.ac.ir

حقوق ملوفین به نویسنده‌گان و حقوق ناشر به انتشارات دانشگاه امیرکبیر داده شده است. این مقاله تحت لیسانس آفرینندگی مردمی (Creative Commons License) در دسترس شما قرار گرفته است. برای جزئیات این لیسانس، از آدرس <https://www.creativecommons.org/licenses/by-nc/4.0/legalcode> دیدن فرمائید.



با اعضای بتونی معمولی نشان دادند [۲۶، ۲۱ و ۲۰]. بتون ژئوپلیمری عمل آوری حرارتی شده پس از قرار گرفتن در معرض حرارت با دمای بالا تا ۸۰۰ درجه سلسیوس، استحکام پسماند بالاتری نسبت به استوانه های بتون معمولی نشان داد [۲۶]. تأثیر دمای عمل آوری بر مقاومت فشاری ژئوپلیمر FA-RHBA توسط نظری و همکاران مورد بررسی قرار گرفت [۲۷]. FA با RHBA در سه سطح جایگزینی٪ ۳۰ و ٪ ۴۰ جایگزین شد. پس از دوره آماده سازی، نمونه های ژئوپلیمر به مدت ۳۶ ساعت در دمای ۹۰-۵۰ درجه سانتی گراد قرار گرفتند. آن ها در این تحقیق به این نتیجه رسیدند که دمای بهینه عمل آوری برای همه مخلوطها ۸۰ درجه سلسیوس است. بنابراین، بتون ژئوپلیمری عمل آوری حرارتی شده به عنوان یک ماده ایده آل برای اعضای سازه های بتونی پیش از خود در نظر گرفته می شود.

پان و همکاران [۲۸]، رفتارهای شکست بتون ژئوپلیمری بر پایه خاکستر بادی کلاس F عمل آوری شده در دمای بالا را با بتون معمولی مقایسه کردند. آن ها دریافتند که با توجه به مقاومت فشاری مشابه آن ارزشی شکست بتون معمولی حدود ٪ ۲۴ بزرگتر و طول مشخصه آن تقریباً سه برابر بیشتر از بتون ژئوپلیمری بر پایه خاکستر بادی کلاس F است، که نشان می دهد بتون معمولی شکل پذیری بیشتری نسبت به FFGC نشان می دهد. سارکر و همکاران [۲۹] همچنین خواص شکست بتون ژئوپلیمری بر پایه خاکستر بادی کلاس F عمل آوری شده در دمای بالا را گزارش کردند. آن ها دریافتند که شاخه های نزولی منحنی های بار جایه جایی نمونه های بتون ژئوپلیمری بر پایه خاکستر بادی کلاس F تندتر و صفات شکست نرم تر از نمونه های بتون معمولی با مقاومت فشاری مشابه بودند، که نشان می دهد بتون معمولی شکل پذیری بیشتری نسبت به نمونه بتون ژئوپلیمری بر پایه خاکستر بادی کلاس F از خود نشان می دهد، که با نتایج تحقیق پان و همکاران [۲۸] همخوانی دارد.

گزارش های مربوط به رفتار شکست بتون ژئوپلیمری عمل آوری شده در محیط در ادبیات فنی کمیاب است. نات و سارکر [۳۰] خواص شکست بتون ژئوپلیمری بر پایه سرباره / خاکستر بادی کلاس F (SFGC) را که در دمای محیط عمل آوری شده بود، بررسی کردند و دریافتند که بتون ژئوپلیمری بر پایه سرباره / خاکستر بادی کلاس F در مقایسه با بتون معمولی همتای خود، ارزشی شکست بالاتری به

ماتریس ژئوپلیمر می توان از الیاف استفاده کرد. استفاده از الیاف می تواند به طور مؤثر شکل پذیری را افزایش دهد [۱۰ و ۱۲-۱۸]، که شبیه به کامپوزیت های سیمانی است [۱۷-۱۹]. ویژگی های شکست بتون تحت تأثیر خواص مواد مانند مقاومت، ترکیبات مخلوط و انواع سنگدانه های مورد استفاده، قرار می گیرد.

توسعه مدل بنیادی برای یک ماده به پارامترهای شکست آن نیاز دارد. پارامترهای شکست یک ماده برای توصیف تشکیل و انتشار ترک ها در مواد استفاده می شود. مسیر ترک درون یک ماده مرکب مانند بتون به تعامل مکانیکی بین سنگدانه ها و ماتریس چسب بستگی دارد. انرژی شکست یک ماده مرکب به انحراف مسیر ترک از یک صفحه ترک ایده آل بستگی دارد [۲۱ و ۲۰]. از آنجایی که چسب در بتون ژئوپلیمری با بتون حاوی سیمان پرتلند معمولی (بتون معمولی) (OPC) متفاوت است، اثر تعامل بین سنگدانه ها و چسباننده ژئوپلیمری باید بررسی شود. بنابراین، مطالعه پارامترهای شکست بتون ژئوپلیمری برای درک رفتار شکست آن ضروری است.

به عنوان یک ماده نسبتاً جدید، تحقیقات گسترده در مورد خواص مختلف سیمان ژئوپلیمری برای اطمینان از مناسب بودن آن برای کاربردهای سازه های مورد نیاز است، که در این راستا توجه به مشخصات شکست از اهمیت حیاتی برخوردار است [۲۲]. در این زمینه می توان به بررسی تاثیر عوامل مختلف مثل نسبت محلول فعال کننده به چسب، تاثیر دما، تاثیر اندازه و نوع سنگدانه ها، تاثیر نسبت های مختلف ترکیب مواد و ... اشاره کرد.

نتایج مطالعات اخیر پتانسیل استفاده از بتون ژئوپلیمری بر پایه خاکستر بادی عمل آوری حرارتی شده را به عنوان مصالح ساختمانی نشان داده است. تحقیقات در حال انجام بر روی بتون ژئوپلیمری بر پایه خاکستر بادی، چندین ویژگی کوتاه مدت و بلند مدت را مورد مطالعه قرار داد. نشان داده شد که بتون ژئوپلیمری عمل آوری حرارتی شده دارای خواص مقاومت فشاری بالا، جمع شدگی ناشی از خشک شدن و خوش کم و مقاومت خوب در برابر سولفات و اسید است [۲۳ و ۲۷]. مشخص شد که بتون ژئوپلیمری نسبت به بتون معمولی چسبندگی بالاتری با فولاد تقویت کننده و مقاومت کششی شکافتی نسبتاً بالاتری دارد [۲۴ و ۲۵]. تیرها و ستون های بتون ژئوپلیمری تا حد شکست، آزمایش شدند و عملکرد مشابه یا بهتری را در مقایسه

شده (ACGHWC)<sup>۲</sup> نشان دادند که با افزایش نسبت فعال کننده به چسب (Al/Bi)<sup>۳</sup> از ۰/۶۵ به ۰/۸۵، انرژی شکست و همچنین چقرمگی شکست کاهش میابد و شکل پذیری افزایش میابد. این مقاله نتایج تحقیق آزمایشگاهی در مورد تأثیر نسبت فعال کننده به چسب بر پارامترهای شکست بتن ژئوپلیمری سبک بر پایه خاکستر بادی کلاس C را تشریح می‌کند. به منظور انجام این کار، آزمایش‌هایی روی نمونه تیرهای شکافدار با استفاده از روش اثر اندازه (SEM)<sup>۴</sup> و بر اساس توصیه نامه‌های رایلم [۳۶]، انجام شده است. علاوه بر این، پارامترهای مکانیکی شامل مدول الاستیسیته، مقاومت کششی و مقاومت فشاری تعیین شده است.

## ۲- روش اثر اندازه (SEM)

روش اثر اندازه (SEM) که اولین بار توسط بازانت و کاظمی [۳۷] پیشنهاد شد، در توصیه نامه رایلم [۳۶] نیز به عنوان یک روش دقیق و مطلوب توصیه شده است. روش اثر اندازه پارامترهای شکست را مستقل از اندازه و شکل نمونه‌ها به دست می‌دهد و ویژگی ذاتی بتن را نشان می‌دهد. بر اساس قانون اثر اندازه، رابطه (۱) ارتباط غیرخطی بین تنش اسمی شکست و ابعاد نمونه‌های تیرهای مشابه هندسی را نشان می‌دهد:

$$\sigma_N = \frac{Bf_t}{\sqrt{1 + \beta}} \quad (1)$$

که در آن B یک پارامتر تجربی و  $\beta$  عدد تردی<sup>۵</sup> است که با رابطه (۲) تعیین می‌شود:

$$\beta = \frac{d}{d_0} \quad (2)$$

که در آن d عمق تیر و  $d_0$  یک ضریب تجربی است.

2 - Ambient-cured ground granulated based heavyweight geopolymers concrete

3 - Alkaline solution to binder ratio

4 - Size Effect Method

5 - Brittleness number

دست می‌آورد. علاوه بر این، انحراف قبل از شکست نهایی نمونه بتن ژئوپلیمری بر پایه سرباره/ خاکستر بادی کلاس F کمی بزرگتر بود، که ممکن است نشان دهد بتن ژئوپلیمری بر پایه سرباره/ خاکستر بادی کلاس F عمل‌آوری شده در دمای محیط، انعطاف‌پذیری بیشتری نسبت به همتای بتن معمولی خود دارد. نات و سارکر [۳۰] بیان کردند که خواص شکست بتن ژئوپلیمری بر پایه سرباره/ خاکستر بادی کلاس F که در دمای محیط عمل آوری می‌شود تحت تأثیر نسبت‌های مخلوط قرار می‌گیرد. مطالعه انجام شده بر روی خواص شکست بتن ژئوپلیمری بر پایه سرباره (SGC)<sup>۱</sup> که در دمای محیط عمل آوری شده است [۳۱]، نشان می‌دهد که انرژی شکست بتن ژئوپلیمری بر پایه سرباره بزرگتر از همتای بتن معمولی آن است. علت این موضوع آن است که ناحیه انتقال بین خمیر و سنگدانه همگن‌تر و متراکم‌تر است. مقادیر طول مشخصه کوچکتر بتن ژئوپلیمری بر پایه سرباره نسبت به بتن معمولی نشان داد که بتن ژئوپلیمری بر پایه سرباره تردتر از همتای بتن معمولی خود است.

دینگ و همکاران [۳۱] اثرات پارامترهای مواد از جمله غلظت قلیایی، مدول فعال کننده قلیایی، نسبت جرم سرباره به خاکستر بادی و نسبت فعال کننده به چسب بر روی خواص شکست بتن ژئوپلیمری بر پایه سرباره/ خاکستر بادی کلاس F در دمای محیط عمل آوری شده را مورد ارزیابی قرار دادند. نتایج نشان داد که، انرژی شکست بتن ژئوپلیمری بر پایه سرباره/ خاکستر بادی کلاس F با افزایش غلظت قلیایی، مدول فعال کننده قلیایی و همچنین نسبت سرباره به خاکستر بادی افزایش می‌یابد، در حالی که با افزایش نسبت فعال کننده به چسب، کاهش می‌یابد. علاوه بر این، طول مشخصه بتن ژئوپلیمری بر پایه سرباره/ خاکستر بادی کلاس F با افزایش مقاومت فشاری، بدون توجه به نسبت مخلوط کاهش می‌یابد. لی و همکاران [۳۲] به این نتیجه رسیدند که با افزایش محتوای GGBFS و نسبت مایع قلیایی به چسبنده، پارامترهای شکست ACGGC بهبود می‌یابد. زوهوا و همکاران [۳۳] دریافتند که مایع/نسبت جامد می‌تواند اتحال مواد خام را تسريع کند. یائو و همکاران [۳۴] نشان دادند که نسبت مایع به جامد بالاتر دوره ژئوپلیمریزاسیون را افزایش می‌دهد. موسوی‌نژاد و فلاحت‌کار [۳۵] اخیراً در تحقیقی که بر روی خواص بتن ژئوپلیمری سنگین بر پایه خاکستر کوره بلند ریز آسیاب شده عمل آوری محیطی

1 - Slag-based Geopolymer Concrete

شدن نوک ترک (٦) و چقونگی شکست ( $K_{IC}$ ) و E مدول الاستیسیته توسط رابطه‌های (٧)، (٨)، (٩) و (١٠)، به ترتیب:

$$G_f = \frac{g(\alpha_0)}{AE} \quad (٧)$$

$$C_f = \frac{g(\alpha_0)}{g'(\alpha_0)} \times \frac{C}{A} \quad (٨)$$

$$\delta_C = \frac{8K_{IC}}{E} \times \sqrt{\frac{C_f}{2\pi}} \quad (٩)$$

$$K_{IC} = \sqrt{EG_f} \quad (١٠)$$

که در این روابط،  $(g(\alpha_0))$  نرخ آزادسازی انرژی بدون بعد و  $(d/a_0 = \alpha)$  طول نسبی ترک اولیه است.  $(g'(\alpha_0))$  مشتق  $(g(\alpha_0))$  و  $(g(\alpha_0))$  از رابطه (١١) تعیین می‌شود.

$$g(\alpha) = \left(\frac{1}{d}\right)^2 \pi \alpha [1.5F(\alpha)]^2 \quad (١١)$$

تابع برونیابی کمکی است که برای  $d=1$  از رابطه (١٢) به دست می‌آید:

$$F_{2.5}(\alpha) = \frac{1 - 2.5\alpha + 4.49\alpha^2 - 3.98\alpha^3 + 1.33\alpha^4}{(1-\alpha)^{1.5}} \quad (١٢)$$

### ۳- برنامه آزمایش

#### ۳- مواد

در این تحقیق از خاکستر بادی کلاس C به عنوان ماده پایه در ساخت بتن استفاده شده است. مطابق استاندارد ASTM C618 خاکستر بادی مورد استفاده در بتن، دارای دو کلاس F و C می‌باشد

عدد تردی ( $\beta$ ) در سه محدوده مختلف تعریف شده است. برای  $10 \geq \beta \geq 0/1$  مقاومت اسمی مقدار ثابتی دارد و معیار مقاومت باید اعمال شود. در این محدوده بتن رفتار شکل‌بذیری بیشتری از خود نشان دهد. برای  $10 \geq \beta \geq 0/1$ ، مکانیک شکست غیرخطی رفتار بتن را تعیین می‌کند. در نهایت، برای  $\beta < 10$  که بتن از مکانیک شکست الاستیک خطی (LEFM) پیروی می‌کند. در این محدوده  $\beta$ ، بتن شکننده‌تر است.

در روش اثر اندازه ویژگی‌های شکست به سادگی با حداکثر بارهای تعیین شده از آزمایش خم شده نقطه‌ای انجام شده بر روی تیرهای شکافدار مشابه هندسی با اندازه‌های مختلف و نسبت‌های مساوی طول شکاف اولیه به عمق نمونه محاسبه می‌شود. این پارامترها با محاسبه شیب (A) و عرض از مبدا (C) طبق رابطه (٣) تعیین می‌شوند:

$$Y = AX = C \quad (٣)$$

که در آن:

$$X_i = d_i, Y_i = \left(\frac{bd_i}{p_i^0}\right)^2 \quad (٤)$$

که در آن  $d_i$  و  $b$  به ترتیب حداکثر بار تصحیح شده، عمق و عرض هر یک از نمونه‌های تیر شکافدار هستند. ضرایب B و  $p_i^0$  را می‌توان از رابطه‌های (٥) و (٦) تعیین کرد:

$$B = \frac{1}{\sqrt{C}} \quad (٥)$$

$$d_0 = \frac{C}{A} \quad (٦)$$

در روش اثر اندازه، پارامترهای اصلی شکست شامل انرژی شکست اولیه ( $G_p$ )، اندازه مؤثر منطقه فرایند ( $C_f$ )، جابه‌جایی مؤثر بحرانی باز

## جدول ۱. مشخصات شیمیایی خاکستر بادی

**Table 1. Chemical characteristics of fly ash**

محتوای شیمیایی	میزان درصد	رواداری
SiO <sub>2</sub>	۳۵/۰۰	±۱/۵۰
Al <sub>2</sub> O <sub>3</sub>	۱۶/۰۰	±۱/۲۰
Fe <sub>2</sub> O <sub>3</sub>	۱/۰۰	±۰/۴۰
CaO	۳۸/۰۰	±۱/۵۰
MgO	۸/۵۰	±۱/۰۰
SO <sub>3</sub>	۲/۳۰	±۰/۳۰
K <sub>2</sub> O	۰/۵۰	±۰/۱۰
Na <sub>2</sub> O	۰/۴۰	±۰/۱۰

نشان داده شده است. نقاط حداقل و حداکثر در منحنی دانه‌بندی مطابق با استاندارد C331 ASTM [۴۰] می‌باشد.

### ۳-۲- نسبت‌های اختلاط

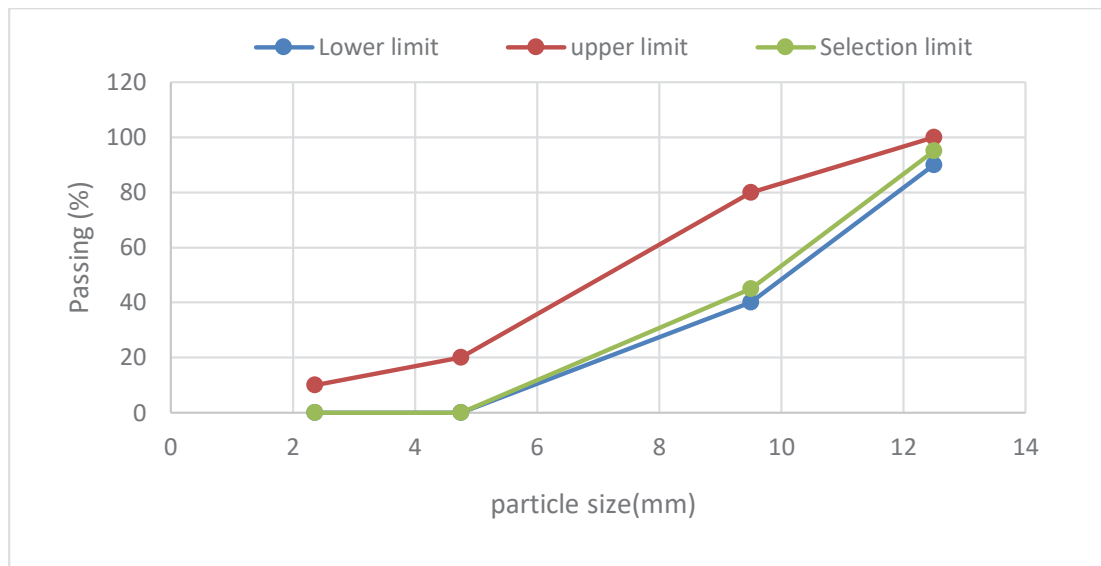
به منظور ارزیابی تأثیر نسبت محلول فعال کننده به چسب، بر پارامترهای شکست بتن، یک برنامه آزمایشی شامل سه طرح اختلاط، مطابق جدول ۲ در نظر گرفته شده است.

### ۴- تعیین پارامترهای شکست با استفاده از روش اثر اندازه (SEM)

در این تحقیق، برای هر طرح اختلاط، ۱۲ نمونه تیر شکافدار با چهار اندازه مختلف ساخته شد و توسط دستگاه سروو الکترو کنترل یونیورسال 150-STM در مرکز پژوهش متالورژی رازی (RMRC)<sup>۱</sup> مورد آزمایش قرار گرفتند. بر اساس توصیه‌نامه رایلم بارگذاری با نرخ ثابت به گونه‌ای انجام شد که جداکثر بارها در ۵ دقیقه به نمونه اعمال شود [۳۶]. ابعاد نمونه‌ها بر اساس معیارهایی که در توصیه‌نامه استاندارد C136 ASTM [۳۹] تعیین شده، استفاده شد. تمامی نمونه‌ها پس از ۲۴ ساعت نگهداری در قالب، از قالب خارج شده و پس از یک روز عمل آوری در آون در دمای ۸۰ درجه سلسیوس مورد آزمایش قرار گرفتند. برای هر طرح اختلاط،

که در خاکستر کلاس F مجموع میزان سیلیسیم اکسید، آلومینیم اکسید و آهن اکسید کمتر از ۷۰٪ نیست. همچنین در خاکستر کلاس C نیز مجموع اکسیدهای یاد شده، کمتر از ۵۰٪ نمی‌باشد [۳۸]. مشخصات آنالیز شیمیایی ماده‌ی خاکستر بادی کلاس C توسط آنالیز اشعه‌ی ایکس (XRD) (توسط شرکت آسه سیمان سبز ACE GREENCEMT CO) انجام گرفته است. نتایج این آنالیز در جدول ۱ شرح داده شده است:

برای ساخت بتن‌های ژئوپلیمری از محلول سدیم هیدروکسید (NaOH) با غلظت ۱۰ مولار که ۲۴ ساعت پیش از استفاده، از ترکیب آب مقطر و سدیم هیدروکسید جامد با درجه خلوص ۹۹ درصد تولیدی شرکت نیرو کلر و محلول سدیم سیلیکات با مدول (نسبت Na<sub>2</sub>O/SiO<sub>2</sub>) ۲/۳۳ تولیدی شرکت لیا سیلیس قزوین استفاده شده است. ترکیب سدیم سیلیکات و محلول سدیم هیدروکسید با نسبت (NaOH/Na<sub>2</sub>SiO<sub>4</sub>) ۱/۳۳ به عنوان محلول فعال کننده قلیایی استفاده شد. در این مطالعه، سنگدانه‌های لیکا از نوع سازه‌ای با حداکثر اندازه ۱۲/۵ میلیمتر و وزن مخصوص ۶۷۰ کیلوگرم بر متر مکعب، تولید شده در شرکت لیکای ایران برای تولید نمونه‌های بتن ژئوپلیمری سبک بر پایه خاکستر بادی کلاس C مورد استفاده قرار گرفت و سنگدانه‌های ریز ماسه با مدول نرمی ۲/۸ که بر اساس استاندارد C136 ASTM [۳۹] تعیین شده، استفاده شد. منحنی توزیع اندازه ذرات برای دانه‌های لیکای مورد استفاده که بر اساس استاندارد C136 ASTM [۳۹] تعیین شده، در شکل ۱



شکل ۱. محدوده‌های دانه‌بندی مجاز و موجود برای اندازه اسمی ۱۲/۵ میلی‌متر

Fig. 1. Permissible and available grading range for a nominal size of 12.5 mm

جدول ۲. طرح اختلاطهای مورد استفاده

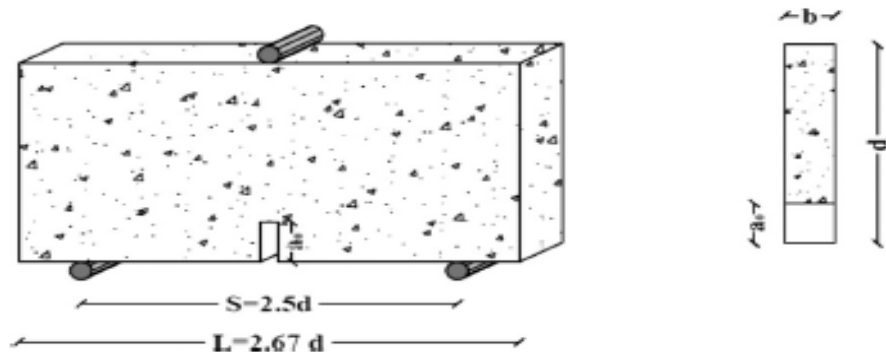
Table 2. Scheme of used mixtures

نام طرح	کد طرح	FA (kg/m <sup>3</sup> )	Na <sub>2</sub> SiO <sub>3</sub> (kg/m <sup>3</sup> )	NaOH (kg/m <sup>3</sup> )	ماسه (kg/m <sup>3</sup> )	لیکا (kg/m <sup>3</sup> )
A1	LWFCCG1	۵۶۲	۱۲۷/۲	۹۷/۸	۴۳۱	۴۱۵
A2	LWFCCG2	۴۵۰	۱۲۷/۲	۹۷/۸	۴۷۲	۴۵۴
A3	LWFCCG3	۳۷۵	۱۲۷/۲	۹۷/۸	۴۹۹	۴۸۰

جدول ۳. ابعاد نمونه تحت آزمایش خمش سه نقطه‌ای در روش اثر اندازه (SEM)

Table 3. Sample dimensions under three-point bending test by size effect method (SEM)

L/d	s/d	a <sub>0</sub> /d	طول نمونه (L) mm	طول دهانه (s) mm	طول شکاف (a <sub>0</sub> ) mm	ضخامت (b) mm	ارتفاع (d) Mm
۲/۶۷	۲/۵	۰/۲	۱۰۱/۷	۹۵/۲	۷/۶	۳۸/۱	۳۸/۱
۲/۶۷	۲/۵	۰/۲	۲۰۳/۴	۱۹۰/۵	۱۵/۲	۳۸/۱	۷۶/۲
۲/۶۷	۲/۵	۰/۲	۴۰۶/۹	۳۸۱	۳۰/۵	۳۸/۱	۱۵۲/۴
۲/۶۷	۲/۵	۰/۲	۸۱۳/۸	۷۶۲	۶۱	۳۸/۱	۳۰۴/۸



شکل ۲. پیکربندی تیرهای شکافدار در روش اثر اندازه (SEM)

Fig. 2. Configuration of slotted beams by size effect method (SEM)



شکل ۳-الف- نمونه های طرح اختلاط A1 ب- نمونه با  $d = 304.8 \text{ mm}$  تحت آزمایش خمسن

Fig. 3-a- Samples of mixing plan A1 (b)- Sample with  $d=304.8 \text{ mm}$  under bending test

در شکل ۳-الف، نمونه های مربوط به کد طرح LWFCGCl که با طرح اختلاط A1 ساخته شده اند، نشان داده شده است. در این تصویر ۱۲ نمونه مربوط به آزمایش خمسن سه نقطه ای، سه نمونه مکعبی به برای انجام آزمایش مقاومت فشاری و ۶ نمونه استوانه ای برای انجام آزمایش های مقاومت کششی و مدول الاستیسیته نشان داده شده است. در شکل ۳-ب، یکی از نمونه های مربوط به کد طرح LWFCGCl با  $d = 304.8 \text{ mm}$  در حال آزمایش خمسن سه نقطه ای نشان داده شده است.

سه نمونه مکعبی با ابعاد  $100 \times 100 \times 100 \text{ mm}$  میلی متر مکعب و شش نمونه استوانه استاندارد با ابعاد  $150 \times 300 \text{ mm}$  میلی متر مریع ساخته شد، در جریان ساخت، نمونه ها پس از ۲۴ ساعت نگهداری در قالب، از قالب خارج شده و به مدت ۲۴ ساعت در آون در دمای ۸۰ درجه سلسیوس عمل آوری شد. برای تعیین مدول الاستیسیته، مقاومت کششی و فشاری به ترتیب مطابق استانداردهای ASTM C469 [۴۱]، [۴۲] ASTM C496 [۴۳] و ۱۲۳۹۰ BS EN [۴۲] مورد آزمایش قرار گرفت.

#### جدول ۴. حداکثر بار اصلاح شده

**Table 4. Modified maximum load**

کد طرح	fc (MPa)	E(GPa)	فعال کننده / چسب	ارتفاع d (mm)	بار اصلاح شده تیرها (N)			
					سری ۱	سری ۲	سری ۳	سری ۴
LWF CGC1	۲۸/۴	۱۷/۲۸	۰/۴	۳۸/۱	۷۰۵	۶۹۹	۷۳۰	
				۷۶/۲	۱۴۶۱	۱۴۲۸	۱۵۱۰	
				۱۵۲/۴	۲۳۶۷	۲۳۸۳	۲۴۴۲	
				۳۰۴/۸	۳۸۴۹	۳۸۱۰	۳۸۶۵	
				۳۸/۱	۶۷۵	۶۱۵	۶۳۶	
LWF CGC2	۲۲/۶	۱۴/۴۷	۰/۵	۷۶/۲	۱۰۲۹	۱۰۱۸	۱۰۷۹	
				۱۵۲/۴	۱۹۶۳	۱۸۵۱	۱۸۷۹	
				۳۰۴/۸	۳۲۴۶	۳۲۸۵	۳۲۵۵	
				۳۸/۱	۴۲۸	۴۰۲	۴۵۵	
				۷۶/۲	۷۹۶	۸۱۴	۷۶۳	
LWF CGC3	۱۸/۹	۱۱/۴۳	۰/۶	۱۵۲/۴	۱۵۶۵	۱۵۳۶	۱۵۸۵	
				۳۰۴/۸	۲۴۸۹	۲۵۰۱	۲۴۷۹	

از طریق ماتریس و بخشی در امتداد رابطهای عبور می‌کنند. بنابراین،

انرژی شکست کاهش می‌یابد و شکل‌پذیری افزایش می‌یابد.

مقادیر  $d_0$ ,  $\omega_A$ ,  $\omega_C$  و  $m$  و پارامترهای شکست شامل انرژی شکست اولیه ( $G_f$ ), اندازه مؤثر منطقه فرایند ( $C_f$ ), چرمگی شکست ( $K_{IC}$ ) و جابه‌جایی مؤثر بحرانی باز شدن نوک ترک ( $\delta_c$ ) در جدول ۵ نشان داده شده‌اند.

دقت نتایج روش اثر اندازه در صورتی قابل قبول است که مقادیر شاخص‌های آماری شامل ضریب تغییرات شبیه خط رگرسیون ( $\omega A$ ), ضریب تغییرات مقطع ( $C_f$ ) و عرض نسبی نوار پراکندگی ( $m$ ) به ترتیب از  $0/۱$ ,  $۰/۰$  و  $۰/۲$  تجاوز نکرده باشد [۳۳]. همانطور که در جدول ۵ مشاهده می‌شود، شاخص‌های آماری ( $\omega_A$ ,  $\omega_C$  و  $m$ ) معیارها را برآورده کرده‌اند.

مقادیر مقاومت فشاری، انرژی شکست اولیه ( $G_f$ ), اندازه مؤثر منطقه فرایند شکست ( $C_f$ ) و چرمگی شکست ( $K_{IC}$ ) برای نسبت‌های مختلف فعال کننده به چسب (Al/Bi) در شکل ۴ نشان داده شده‌اند. همه پارامترهای شکست بر اساس توصیه‌نامه رایلم [۳۶] با استفاده از تحلیل رگرسیون خطی محاسبه می‌شوند. نمونه‌ای از تحلیل رگرسیون خطی برای طرح اختلاط شماره LWFCGCI در شکل ۵ نشان داده شده است.

#### ۵- تجزیه و تحلیل نتایج

حداکثر بارهای اصلاح شده برای تمام نمونه‌های تیر شکافدار مورد استفاده در روش اثر اندازه در جدول ۴ ارائه شده است. نتایج به دست آمده نشان داد که کاهش نسبت فعال کننده به چسب (Al/Bi) منجر به افزایش بارهای شکست می‌شود. در مورد بتن‌های معمولی با کاهش نسبت آب به سیمان نیز بارهای شکست افزایش می‌یابد. این امر مبین تشابه نقش فعال کننده در بتن ژئوپلیمری با آب در بتن معمولی و چسب در بتن ژئوپلیمری با سیمان در بتن معمولی است. با افزایش نسبت فعال کننده به چسب (Al/Bi): اولاً، تخلخل خمیر ژئوپلیمر افزایش یافته و فشردگی آن کاهش می‌یابد [۴۴-۴۶]. ثانیاً، مقدار آب کل، تعداد یون‌های هیدروکسیل و نیز کاتیون‌های آن‌ها (مانند  $Na^+$  و  $Si^{+4}$ ) در سیستم افزایش می‌یابد. این‌ها مانع از فرآیند ژئوپلیمریزاسیون می‌شوند و باعث می‌شوند محتوای کمتری از ژل N-A-S-H با ریزساختار ضعیف تشکیل شود [۴۵ و ۴۶] و ثالثاً، انقباض ناشی از خشک شدگی خمیر ژئوپلیمر افزایش می‌یابد که منجر به ایجاد ریزترک‌های بیشتر در خمیر سخت شده می‌شود [۴۶]. بر این اساس، به دلیل ایجاد تخلخل و ریز ترک‌های بیشتر در خمیر و همچنین کیفیت پایین‌تر خمیر ژئوپلیمر، در نسبت بالاتر Al/Bi، یک شکست بین دانه‌ای رخ می‌دهد. در این مورد، ترک‌ها تا حدی

جدول ۵. پارامترهای شکست روش اندازه (SEM)

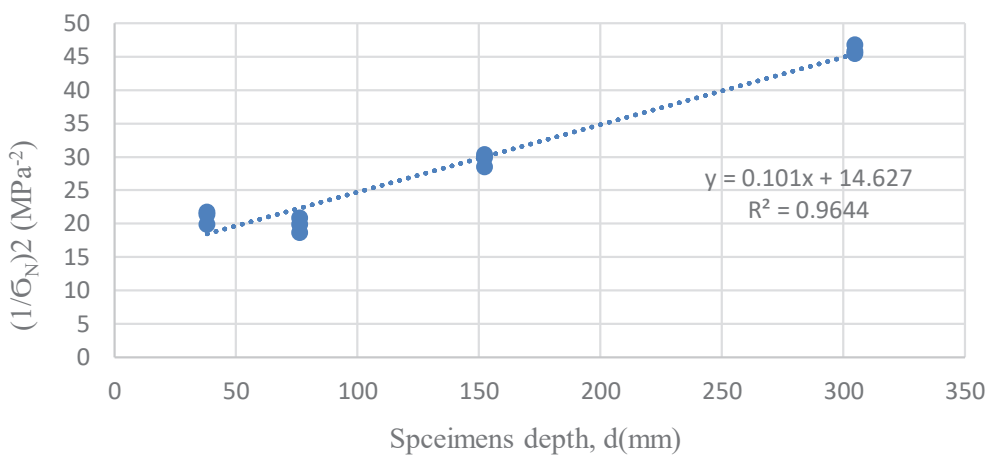
Table 5. Fracture parameters of the size effect method (SEM)

سری	فعال کننده چسب	$G_f$ (N/m)	$C_f$ (mm)	$d_0$ (mm)	B (MPa)	$K_{IC}$ (MPa $\text{mm}^{0.5}$ )	$\delta_c$ (mm)	$\omega_A$	$\omega_C$	m
LWF CGC1(A1)	۰/۴	۲۰/۹۸	۲۹/۰۷	۱۴۴/۸۵	۰/۵۹	۱۹/۰۴	۰/۰۲۰۴	۰/۰۶	۰/۰۸	۰/۱
LWF CGC2(A2)	۰/۵	۱۹/۳۳	۳۸/۷۶	۱۹۳/۱۷	۰/۴۵	۱۶/۷۳	۰/۰۲۸۵	۰/۰۸۷	۰/۰۸	۰/۱۲۲
LWF CGC3(A3)	۰/۶	۱۷/۳۱	۵۴/۱۲	۲۶۹/۷۳	۰/۳۲	۱۴/۰۷	۰/۰۴۲۴	۰/۰۱۰۲	۰/۰۶۸	۰/۱۱۷



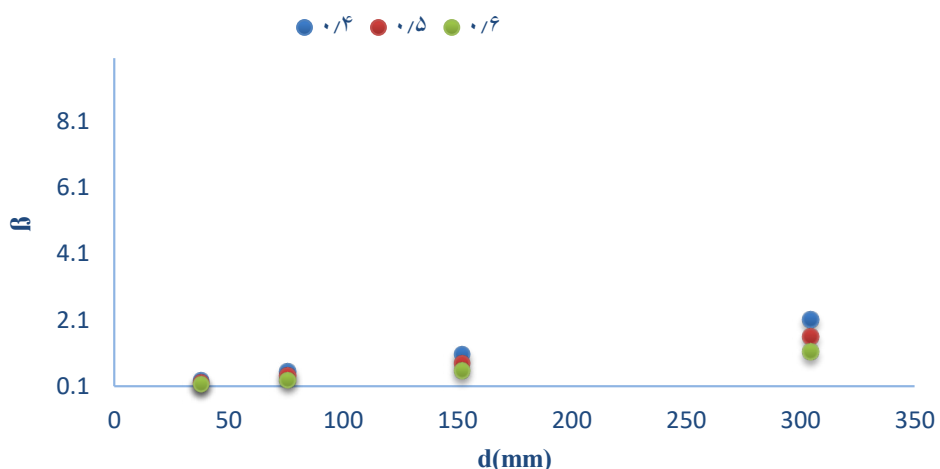
شکل ۴. پارامترهای شکست LWFCGC در نسبت‌های مختلف فعال کننده به چسب

Fig. 4. Fracture parameters of LWFCGC at different ratios of activator to binder



شکل ۵. رگرسیون خطی برای طرح اختلاط شماره LWFCGC1

Fig. 5. Linear regression for LWFCGC1 mixing plot

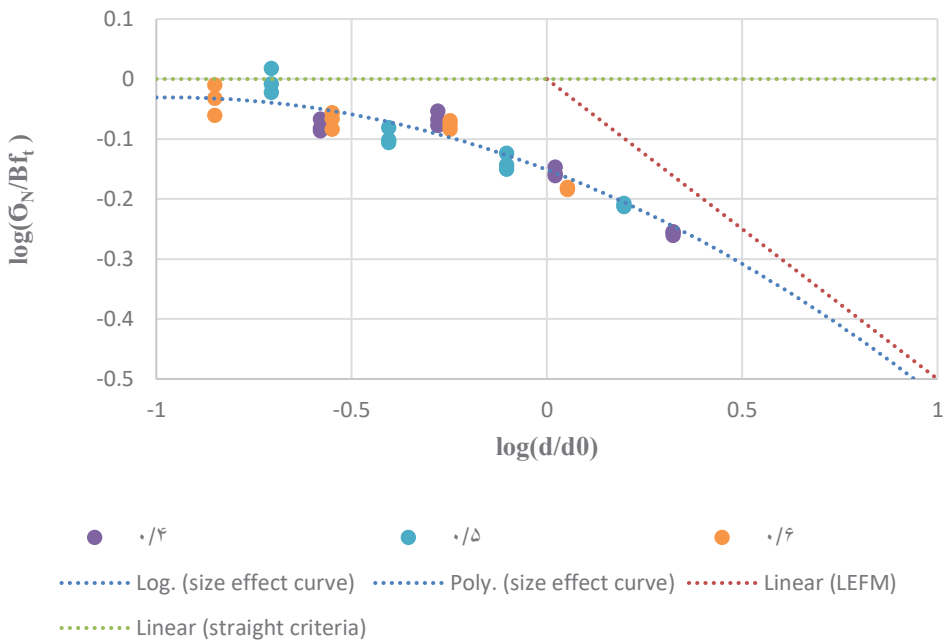


شکل ۶. تغییر  $\beta$  با عمق تیرها برای LWFCGC با نسبت‌های مختلف Al/Bi

Fig. 6. Variation of  $\beta$  with beam depth for LWFCGC with different Al/Bi ratios

معیارهای مکانیک شکست غیرخطی (NLFM) قرار دارند. علاوه بر این، واضح است که  $\beta$  با افزایش عمق نمونه ها و نسبت فعال کننده به چسب (Al/Bi) افزایش می‌یابد.

در شکل ۶، مقادیر عدد شکنندگی ( $\beta$ ) در برابر عمق نمونه‌های تیر (d) برای نسبت‌های مختلف نسبت فعال کننده به چسب (Al/Bi) نمایش داده شده است. بدیهی است که تمام مقادیر  $\beta$  در محدوده



شکل ۷. منحنی اثر اندازه برای مخلوطهای LWFCGC با نسبت‌های مختلف Al/Bi

Fig. 7. Size effect curve for LWFCGC mixtures with different Al/Bi ratios

۷ می‌توان دریافت که تنش اسمی با افزایش عمق تیر کاهش می‌یابد و در همان عمق با کاهش نسبت فعال کننده به چسب (Al/Bi) کاهش می‌یابد.

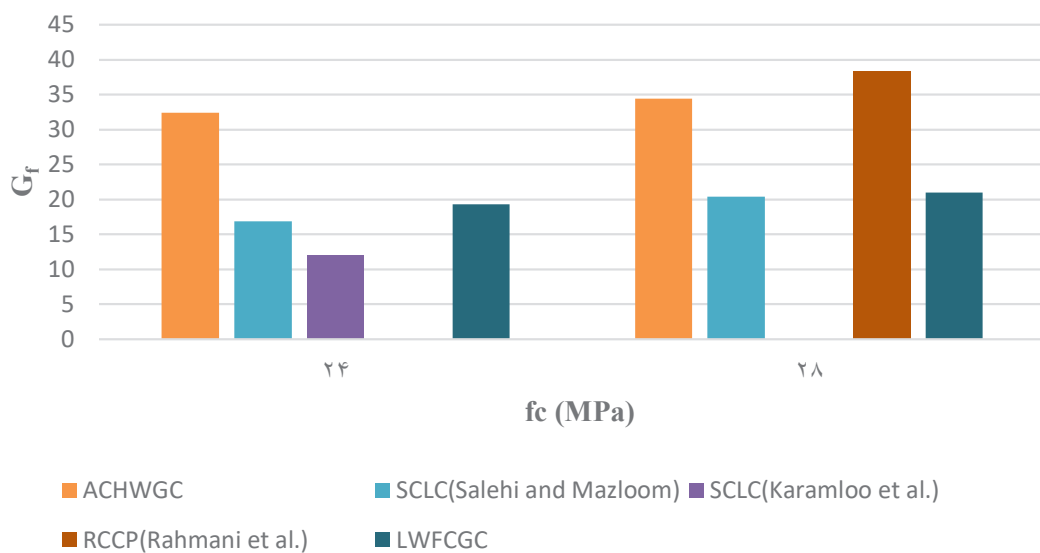
#### ۶- مقایسه بین پارامترهای شکست

برای مقایسه خواص شکست بتن ژئوپلیمری سبک بر پایه خاکستر بادی کلاس C (LWFCGC) با سایر انواع بتن، از مقایسه پارامترهای شکست به دست آمده از طریق روش اثر اندازه برای بتن‌های در یک رده مقاومتی استفاده شد. پارامترهای شکست LWFCGC و OPC و ACGHWGC که توسط محققان در مطالعات قبلی به دست آمده است، در شکل‌های ۸ و ۹ و ۱۰ نشان داده شده است. نتایج نشان می‌دهد که بتن ژئوپلیمری سبک بر پایه خاکستر بادی کلاس C (LWFCGC) نسبت به بتن سبک خودتراکم (SCLC) [۴۷ و ۴۸] انرژی شکست اولیه و چقرمگی شکست بالاتر دارد. انرژی شکست اولیه و چقرمگی شکست LWFCGC از بتن ژئوپلیمری سنگین (ACGHWGC) بر پایه خاکستر کوره بلند عملأوری محیطی شده [۳۵] و بتن غلطکی (RCCP) [۴۹] پایینتر است. نتایج نشان می‌دهد که LWFCGC تردتر از SCLC، RCCP و ACGHWGC است.

شکل ۷ منحنی اثر اندازه را برای مخلوطهای LWFCGC با نسبت‌های مختلف فعال کننده به چسب (Al/Bi) نشان می‌دهد. همانطور که مشاهده می‌شود، نتایج آزمایشگاهی نزدیک یا روی منحنی به دست آمده بر اساس رابطه اثر اندازه قرار دارند. بنابراین می‌توان نتیجه گرفت که نتایج تجربی با مقادیر پیش‌بینی شده توسط قانون اثر اندازه تطابق خوبی دارند. با توجه به قانون اثر اندازه رابطه (۱)، تنش اسمی به اندازه سازه بستگی دارد و با افزایش عمق تیر کاهش می‌یابد.

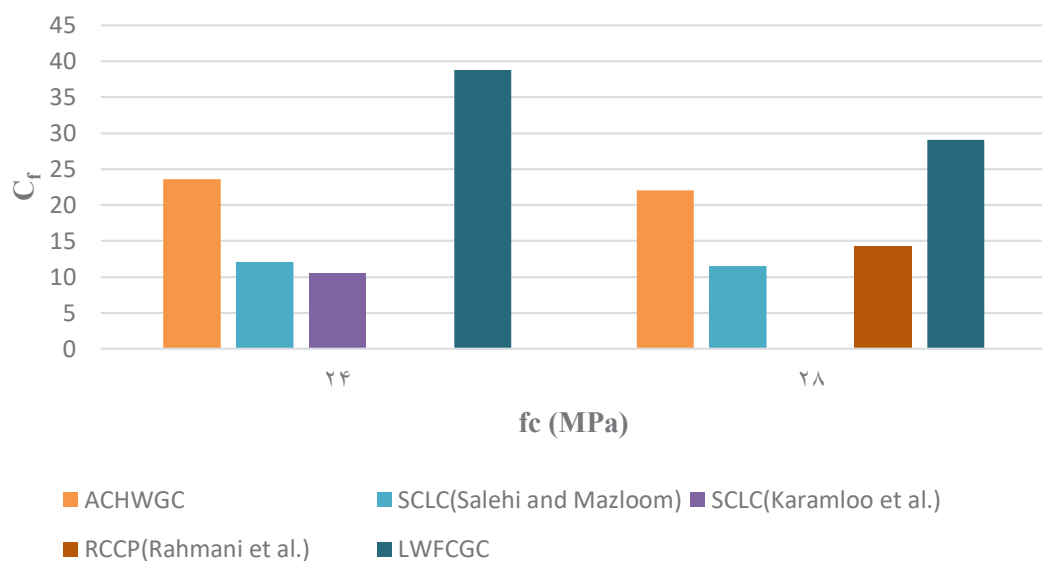
مجانبهای رابطه (۱)، یک خط افقی است که معیارهای مقاومت (یا تنش محدود؛ به عنوان مثال  $B = \sigma_N$  برای  $d = 2$  کوچک) و یک خط مستقیم با شیب  $-0.5$  است که نشان دهنده شرایط مکانیک شکست الاستیک خطی (LEFM) است (یعنی  $\sigma_N \propto d^{-0.5}$  برای  $d$  بزرگ). بر اساس داده‌های به دست آمده می‌توان بیان کرد که برای نمونه‌های تیر با اندازه بزرگ‌تر با نسبت فعال کننده به چسب (Al/Bi) کمتر، یک جایه‌جایی از چپ به راست رخ می‌دهد و معیارهای طراحی به معیار LEFM نزدیک می‌شوند.

بر عکس، برای تیرهای کوچک‌تر با نسبت فعال کننده به چسب (Al/Bi) بالاتر، یک جایه‌جایی از راست به چپ رخ می‌دهد و معیارهای طراحی به معیار مقاومت نزدیک می‌شوند. با توجه به شکل



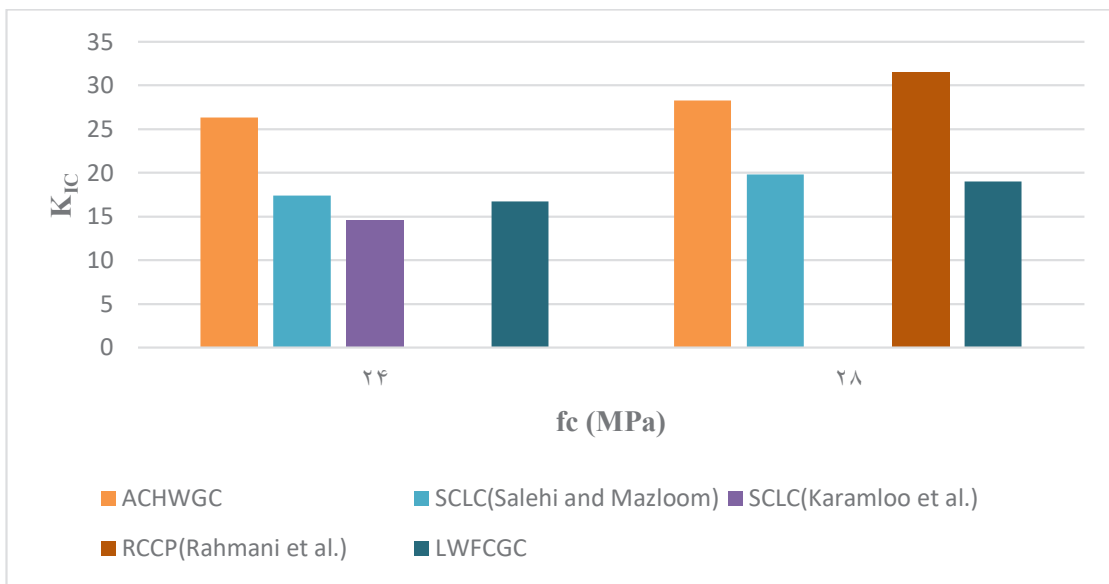
شکل ۸. انرژی شکست اولیه ( $G_f$ ) برای بتن‌های مختلف

Fig. 8. Initial fracture energy ( $G_f$ ) for different concretes



شکل ۹. اندازه مؤثر منطقه فرایند ( $C_f$ ) برای بتن‌های مختلف

Fig. 9. Effective size of process area ( $C_f$ ) for different concretes



شکل ۱۰. چقرمگی شکست ( $K_{IC}$ ) برای بتن‌های مختلف

Fig. 10. Fracture toughness ( $K_{IC}$ ) for different concretes

۳- در تمام نمونه ها با افزایش مقاومت فشاری  $f_c$  از ۹ MPa به ۱۸/۹ N/m از ۲۸/۴ MPa به ۱۷/۳۱ N/m و چقرمگی شکست  $K_{IC}$  از  $20/98 \text{ MPa mm}^{1/2}$  به  $19/04 \text{ MPa mm}^{1/2}$  افزایش یافت و طول ناحیه توسعه شکست  $C_f$  از ۵۴/۱۲ mm به ۲۹/۰۷ mm کاهش می‌یابد. در نتیجه هر چه مقاومت فشاری بیشتر باشد، انرژی شکست و همچنین تردی بیشتر خواهد شد.

### منابع

- [1] J. Davidovits, "Pyramids of Egypt Man-Made Stone, Myth or Fact?" symposium on Archaeometry Smithsonian Institution, Washington DC, (1984).
- [2] J. Davidovits, Geopolymer chemistry and applications, Geopolymer Institute, 2008.
- [3] J. Davidovits, What is a geopolymer? Introduction, Institute Geopolymere, Saint-Quentin, France, Accessed on January, 29 (2010).
- [4] D. Hardjito, S.E. Wallah, D.M. Sumajouw, B.V. Rangan, On the development of fly ash-based geopolymer concrete, Materials Journal, 101(6) (2004) 467-472.

### ۷- نتیجه گیری

در مقاله حاضر، اثرات نسبت فعال کننده به چسب (Al/Bi) بر پارامترهای شکست بتن ژئوپلیمری سبک بر پایه خاکستر بادی کلاس C با استفاده از روش اثر اندازه (SEM) مورد مطالعه قرار گرفت. نتایج اصلی به شرح زیر خلاصه می‌شود:

- ۱- با افزایش نسبت فعال کننده به چسب (Al/Bi) از ۰/۴ به ۰/۶، انرژی شکست  $G_f$  از ۲۰/۹۸ N/m به ۱۷/۳۱ N/m تغییر کرد و ۱۹/۰۴ % کاهش یافت. چقرمگی شکست  $K_{IC}$  از  $17/5 \text{ MPa mm}^{1/2}$  به  $14/07 \text{ MPa mm}^{1/2}$  کاهش یافت و ۰/۲۶ % کاهش را نشان داد. در حالی که طول ناحیه توسعه شکست  $C_f$  از ۲۹/۰۷ mm به ۵۴/۱۲ mm افزایش یافت و ۰/۸۶٪ افزایش را نشان داد. این بدان معنی است که با افزایش نسبت فعال کننده به چسب (Al/Bi)، مشابه آنچه در افزایش نسبت آب به سیمان در بتن‌های معمولی مشاهده می‌شد، انرژی شکست کاهش می‌یابد و شکل پذیری بیشتر می‌شود.
- ۲- با افزایش نسبت فعال کننده به چسب (Al/Bi) از ۰/۴ به ۰/۶، مقاومت فشاری  $f_c$  از ۲۸/۴ MPa به ۱۸/۹ MPa کاهش یافت. ۰/۴٪ کاهش تغییر می‌یابد و میزان مدول الاستیسیته E نیز از ۱۱/۴۳ GPa به ۱۷/۲۸ GPa معادل ۳۴٪ کاهش است.

- Materials, 131 (2017) 552-563.
- [16] Y. Ding, Y.-L. Bai, Fracture properties and softening curves of steel fiber-reinforced slag-based geopolymers mortar and concrete, Materials, 11(8) (2018) 1445.
- [17] Y. Ding, J.-t. Yu, K.-Q. Yu, S.-l. Xu, Basic mechanical properties of ultra-high ductility cementitious composites: From 40 MPa to 120 MPa, Composite structures, 185 (2018) 634-645.
- [18] Y. Ding, K.-Q. Yu, J.-t. Yu, S.-l. Xu, Structural behaviors of ultra-high performance engineered cementitious composites (UHP-ECC) beams subjected to bending- experimental study, Construction and Building Materials, 177 (2018) 102-115.
- [19] K. Yu, L. Li, J. Yu, Y. Wang, J. Ye, Q. Xu, Direct tensile properties of engineered cementitious composites: A review, Construction and Building Materials, 165 (2018) 346-362.
- [20] B. Sabir, S. Wild, M. Asili, On the tortuosity of the fracture surface in concrete, Cement and concrete research, 27(5) (1997) 785-795.
- [21] F. Wittmann, Crack formation and fracture energy of normal and high strength concrete, Sadhana, 27(4) (2002) 413-423.
- [22] Y. Ding, C.-J. Shi, N. Li, Fracture properties of slag/ fly ash-based geopolymers cured in ambient temperature, Construction and Building Materials, 190 (2018) 787-795.
- [23] D. Sumajouw, D. Hardjito, S. Wallah, B. Rangan, Flexural Behaviour Fly Ash Based Geopolymer Concrete Beams, Proceedings of the 22nd Biennial conference of the Concrete Institute of Australia, 6(1) (2005) 77-86.
- [24] E. Chang, P. Sarker, N. Lloyd, B. Rangan, Shear behaviour of reinforced fly ash-based geopolymers concrete beams, in: Proceedings of the 23rd Biennial Conference of the Concrete Institute of Australia, 2007, pp. 679-688.
- [25] P.K. Sarker, Analysis of geopolymer concrete columns, Materials and structures, 42(6) (2009) 715-724.
- [26] P. Sarker, T. de Meillon, Geopolymer concrete after exposure to high temperature heat, Recent Developments [5] A.M. Fernandez-Jimenez, A. Palomo, C. Lopez-Hombrados, Engineering properties of alkali-activated fly ash concrete, ACI Materials Journal, 103(2) (2006) 106 - 112.
- [6] J. Davidovits, High-alkali cements for 21st century concretes, Special Publication, 144 (1994) 383-398.
- [7] T. Bakharev, J.G. Sanjayan, Y.-B. Cheng, Alkali activation of Australian slag cements, Cement and Concrete Research, 29(1) (1999) 113-120.
- [8] P. Nath, P.K. Sarker, Geopolymer concrete for ambient curing condition, in: Australasian structural engineering conference, 2012, pp. 225.
- [9] J. Wongpa, K. Kiattikomol, C. Jaturapitakkul, P. Chindaprasirt, Compressive strength, modulus of elasticity, and water permeability of inorganic polymer concrete, Materials & Design, 31(10) (2010) 4748-4754.
- [10] N. Lee, H.-K. Lee, Setting and mechanical properties of alkali-activated fly ash/slag concrete manufactured at room temperature, Construction and Building Materials, 47 (2013) 1201-1209.
- [11] A.M. Rashad, Properties of alkali-activated fly ash concrete blended with slag, Iranian Journal of Materials Science and Engineering, 10(1) (2013) 57-64.
- [12] P. Nath, P.K. Sarker, Effect of GGBFS on setting, workability and early strength properties of fly ash geopolymers concrete cured in ambient condition, Construction and Building materials, 66 (2014) 163-171.
- [13] Y. Ding, J.-G. Dai, C.-J. Shi, Mechanical properties of alkali-activated concrete subjected to impact load, Journal of Materials in Civil Engineering, 30(5) (2018) 04018068.
- [14] B. Nematollahi, J. Sanjayan, F.U. Ahmed Shaikh, Tensile strain hardening behavior of PVA fiber-reinforced engineered geopolymers composite, Journal of Materials in Civil Engineering, 27(10) (2015) 04015001.
- [15] B. Nematollahi, J. Sanjayan, J. Qiu, E.-H. Yang, Micromechanics-based investigation of a sustainable ambient temperature cured one-part strain hardening geopolymers composite, Construction and Building

- process zone length and brittleness number from size effect, with application to rock and concrete, International Journal of fracture, 44(2) (1990) 111-131.
- [38] ASTM C618, Standard specification for coal fly ash and raw or calcined natural pozzolan for use in concrete, ASTM international, 2013.
- [39] ASTM C136. Standard test method for sieve analysis of fine and coarse aggregates, American Society for Testing and Materials, Philadelphia, PA, (2005).
- [40] ASTM C331, Standard specification for lightweight aggregates for structural concrete, ASTM International, 2017.
- [41] ASTM C469, Standard test method for static modulus of elasticity and Poisson's ratio of concrete in compression, Annual Book of ASTM standards, 4 (2002).
- [42] ASTM C496, Standard test method for splitting tensile strength of cylindrical concrete specimens, Annual Book of ASTM Standard, American Society for Testing and Materials, (2011).
- [43] BS EN 12390, Testing hardened concrete, Compressive Strength of Test Specimens, BS EN, (2009) 12390-12393.
- [44] C. Ruiz-Santaquiteria, J. Skibsted, A. Fernández-Jiménez, A. Palomo, Alkaline solution/binder ratio as a determining factor in the alkaline activation of aluminosilicates, Cement and Concrete Research, 42(9) (2012) 1242-1251.
- [45] W.K. Part, M. Ramli, C.B. Cheah, An overview on the influence of various factors on the properties of geopolymers derived from industrial by-products, Construction and Building Materials, 77 (2015) 370-395.
- [46] M. Chi, Effects of the alkaline solution/binder ratio and curing condition on the mechanical properties of alkali-activated fly ash mortars, Science and Engineering of Composite Materials, 24(5) (2017) 773-782.
- [47] M. Karamloo, M. Mazloom, G. Payganeh, Influences of water to cement ratio on brittleness and fracture parameters of self-compacting lightweight concrete, Engineering Fracture Mechanics, 168 (2016) 227-241.
- in Structural Engineering, in A. Zingoni (ed.), Mechanics and Computation, Millpress, Rotterdam, The Netherlands, (2007) 1566-1571.
- [27] A. Nazari, A. Bagheri, S. Riahi, Properties of geopolymer with seeded fly ash and rice husk bark ash, Materials Science and Engineering: A, 528(24) (2011) 7395-7401.
- [28] Z. Pan, J.G. Sanjayan, B.V. Rangan, Fracture properties of geopolymer paste and concrete, Magazine of concrete research, 63(10) (2011) 763-771.
- [29] P.K. Sarker, R. Haque, K.V. Ramgolam, Fracture behaviour of heat cured fly ash based geopolymer concrete, Materials & Design, 44 (2013) 580-586.
- [30] P. Nath, P.K. Sarker, Fracture properties of GGBFS-blended fly ash geopolymer concrete cured in ambient temperature, Materials and Structures, 50(1) (2017) 1-12.
- [31] Y. Ding, J.-G. Dai, C.-J. Shi, Fracture properties of alkali-activated slag and ordinary Portland cement concrete and mortar, Construction and Building Materials, 165 (2018) 310-320.
- [32] Q. Li, L. Cai, Y. Fu, H. Wang, Y. Zou, Fracture properties and response surface methodology model of alkali-slag concrete under freeze-thaw cycles, Construction and Building Materials, 93 (2015) 620-626.
- [33] Z. Zuhua, Y. Xiao, Z. Huajun, C. Yue, Role of water in the synthesis of calcined kaolin-based geopolymer, Applied clay science, 43(2) (2009) 218-223.
- [34] X. Yao, Z. Zhang, H. Zhu, Y. Chen, Geopolymerization process of alkali-metakaolinite characterized by isothermal calorimetry, Thermochimica Acta, 493(1-2) (2009) 49-54.
- [35] S.H.G. Mousavinejad, M.F. Gashti, Effects of alkaline solution/binder and Na<sub>2</sub>SiO<sub>3</sub>/NaOH ratios on fracture properties and ductility of ambient-cured GGBFS based heavyweight geopolymers concrete, Structures, 32 (2021) 2118-2129.
- [36] RILEM FMT-89, Fracture mechanics of concrete—test methods, Size-effect method for determining fracture energy and process zone size of concrete, Materials and Structures, 23 (1990) 461-465.
- [37] Ba, M. Kazemi, Determination of fracture energy,

[49] A.M. Al Bakri, H. Kamarudin, M. Bnhussain, A. Rafiza, Y. Zarina, Effect of  $\text{Na}^+$  sub  $2^\wedge \text{SiO}^{\wedge}$  sub  $3^\wedge/\text{NaOH}$  Ratios and NaOH Molarities on Compressive Strength of Fly-Ash-Based Geopolymer, ACI Materials Journal, 109(5) (2012) 503.

[48] E. Rahmani, M.K. Sharbatdar, M. Beygi, The effect of water-to-cement ratio on the fracture behaviors and ductility of Roller Compacted Concrete Pavement (RCCP), Theoretical and Applied Fracture Mechanics, 109 (2020) 102753.

چگونه به این مقاله ارجاع دهیم

M. R. Abbasi Zargaleh, M. Mazloom, M. Jafari Samimi, M. H. Ramesht, Effect of alkaline solution to binder ratio on the fracture parameters of lightweight geopolymer concrete based on fly ash, Amirkabir J. Civil Eng., 55(3) (2023) 723-738.

DOI: [10.22060/ceej.2023.21003.7594](https://doi.org/10.22060/ceej.2023.21003.7594)

